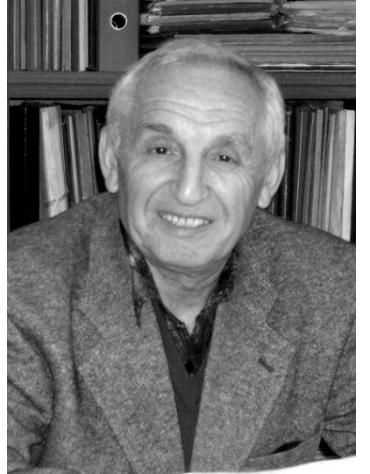
«Угловая аппроксимация» и "векторное представление" нагрузочных графиков стандартных испытаний грунтов

Доказательно предложены возможные приемы камеральной обработки графиков "осадка-нагрузка" способами "угловой аппроксимации" с параллельной "векторной проверкой" стандартных испытаний грунтов сваями и штампами, совместно обеспечивающие развитие ключевых рекомендаций Еврокодов-7 в части: единства геотехнической терминологии базовых параметров графиков - пределов пропорциональности (с учетом доопытной нагрузки), несущей способности (даже незавершенного опыта) системы "свая-грунт" и проектной нагрузки объекта; статистической обработки графиков для условно-однозначного выделения фаз сопротивления грунта основания; вычисления структурной прочности и "приведенного" модуля деформации грунта (и на его основе - модуля общей деформации природного грунта),- тем самым обеспечивая по вычисленным параметрам графоаналитический прогноз работы фундамента на грунте во всем диапазоне нагружения, вплоть до исчерпания

несущей способности основания.



Гольдфельд Игорь Зусьевич — технический консультант МАФ / IAFC, кандидат технических наук, старший научный сотрудник. Тематика научнопроизводственной деятельности — композитные элементы фундаментов и рукавноторовые технологии их выполнения, полевые испытания грунтов штампами, сваями и статическим зондированием. Автор более 90 публикаций и 60 изобретений.

Прошедшая в последние десятилетия интенсификация строи-тельства по видам осваиваемых грунтов, росту высотности объектов глубины заложения подземных сооружений инициировала быстрое и широкое разнообразие конструкций и технологий нулевых циклов. Основными большенагруженные плитные, свайные, плитносвайные

фундаменты [1], а также технологии преобразования самих грунтовых массивов [2] - для возможности регулировать в обширном диапазоне нагрузки и осадки разнообразных объектов. Привычные нормативы (ГОСТы, СП, СНиПы, ТУ) с их базовыми принципами и расчетными методами, стандартные программы для полевых изысканий стройплощадок и проектирования нулевого цикла объектов начали отставать от внедренных практикой инноваций.

Большинство расчетных параметров грунтов имеют *лабораторную* основу определения [3]. Учитывая сложность (часто — невозможность) отбора ненарушенных образцов грунтов для камеральных определений, условность классических приборов и лабораторных схем испыта-ний, инновационная практика фундирования все чаще требует опробования грунтов в натурных условиях, т.е. полевыми методами — штампами, сваями, их моделями с учетом аналогичных технологий возведения.

Натурные опыты с фундаментами и их фрагментами удлиняют изыскания, бывают экологически вредны и технически дефицитны из-за потребности в сугубо строительном оборудовании, возможности экологического урона и невозвратности расходных материалов. Для облегчения прибегают к аналоговым экспресс-методам испытаний грунтов, например, вместо большеразмерных плит используют штампы [4] и статическое зондирование (СЗ) [5], вместо габаритных свай - обычные сваи или их модели той же длины и способа образования [6]. Переход от изыскательских аналогов к натурным строительным фундаментам возможен только при *строго однозначной* оценке испытаний грунтов как самими натурными фундаментами, так и их аналогами.

Ввиду дороговизны полевых опытов желательно по их итогам получать *наибольшее число* будущих расчетных параметров. Так, при штамповых испытаниях, наряду с модулем общей деформации грунта, уметь оценивать его структурную прочность σ_{cmp} [7], пределы пропорциональности и несущей способности, а по возможности - даже прочностные параметры грунта, такие как угол внутреннего трения, сцепление и др.

Используемые изыскателями аналоговые эквиваленты полевых испытаний фундаментов - сваи-штампы, модели свай, статическое зондирование сегодня ориентированы в основном на прогноз несущей способности без оценки возможных осадок во всем диапазоне нагружения. Зачастую величина несущей способности "привязывается" к очередной статистически условной осадке типа S=8, 16 мм и др., обусловленной конкретным объектом.

Задача терминологической однозначности оценок нагрузок на графиках испытаний ставилась многократно и ранее, особенно с расширением свайных фундаментов. На XI Международном конгрессе по механике грунтов и фундаментостроению отмечалось [8], что "сейчас нет единой методики определения несущей способности сваи... даже при наличии данных испытания ее статической нагрузкой". А.Ван Вилл (Голландия), предложив ведущим специалистам девяти стран определить этот параметр по имеющемуся у него графику испытаний реальной сваи, получил по запросу значения, расходившиеся до 2-х и более раз. В большинстве ответов подчеркивалось, что для свай большого диаметра, в частности, буронабивных", основным в расчете является не несущая способность, а осадка сваи".

На рис. 1 дан пример разброса таких рекомендаций при анализе испытаний буронабивных DD-свай (drilled displacement) диаметром d=457мм и длиной 15м, выполняемых в несвязных переслаивающихся крупно- и тонкозернистых слоях без выемки грунта [9]. Методика устройства этих инновационных свай была представлена на Международном Конгрессе по фундаментам глубокого заложения в 2002 г.

Практика выполнения проектно-изыскательских отчетов чаще использует междуопытную и много реже- преимущественно в научных целях -внутри опытную статистику. Последняя включает подбор аппроксимирующих формул нагрузочного графика S = f(N) - для сглажи-вания разброса данных; или экстраполяцию - для получения недостигнутых в опыте значений [10, 11]. По рис. 1-справа трудно придти к однозначному выбору предельных (по термину и по значению) нагрузок. Выбор нагрузки диктуется осадкой в долях диаметра сваи или значением осадки, приходящейся на единицу. нагрузки. Например, трудно однозначно выбрать окончание линейной части графика (предел пропорциональности) N_n или найти предельную по несущей способности нагрузку N_c . Визуально приемлемой для назначения N_n можно считать точку $e^{\prime\prime}$ (рис.1-справа) пересечения нагрузочного графика

S = f(N) с копией

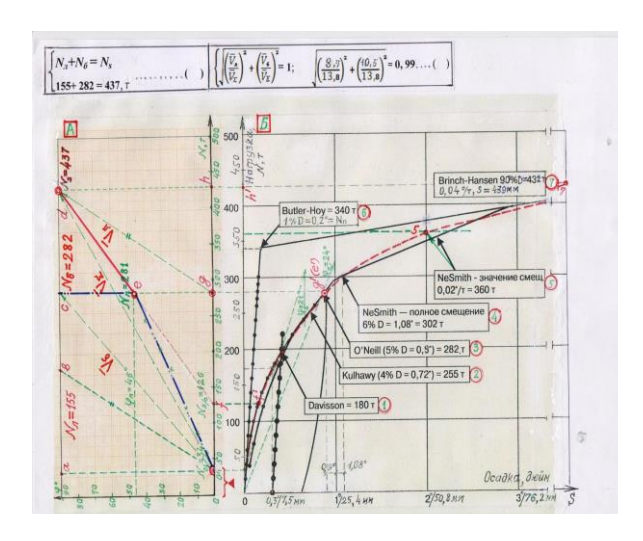


Рис.1. Итоги выбора *предельной* нагрузки: а) справа - по рекомендациям различных специалистов; б) слева - способом «угловой аппроксимации»

разгрузочной кривой, проведенной из начала координат /критерий $\sim (4\div6)\%$ D/. Нагрузку N_c выбирают близкой к асимптоте конечной ветви графика при буквально провальной осадке 90%D /точка 8/, хотя вся конечная ветвь графика выражена целиком одной прямой. Использование способа "угловой аппроксимации" на рис.1-слева (см. также пояснение к рис.2) облегчает решение этой задачи. В лабораторных отчетах и инженерных методах чаще используется двухфазная модель квазиоднородного грунта. Нанесем углы наклона хорд по ступеням $1\div7$ из рис.1-справа в координатную систему ϕ -N на рис.1-слева; проведя через полученные координатные точки две прямые o e и e8, получим в линеаризованном виде две фазы работы

основания. Начало графика первой фазы попало на нагрузочной оси в точку N_o = 34_{TC} , пересечение графика второй фазы с осью абсцисс при φ = 90^o попало в точку N_c = 437_{TC} , пересечение фазовых графиков между собой в точке e дало N_n = 282_{TC} . Три названные точки определяют нагрузки фактического начала работы сваи при испытании N_o , предела ее несущей способности N_c и предела пропорциональности N_n . Нагрузка N_o , может отражать неучтенный собственный вес сваи, группы домкратов (для фрагментов), предварительное нагружение грунта сваей (при циклических испытаниях), уплотнение забоя при изготовлении монолитной сваи и пр. Зафиксированные по нашей методике предельные нагрузки N_n и N_c совпали с рекомендациями соответственно O Neill (5%D) и Brinch-Hansen (90%D).

Еще одним способом анализа является "векторное представление" общей нагрузки сваи как суммы долей нагрузок лба (острия) и боковой поверхности (ствола) /опытное доказательство способа дано к рис. 4/. Представим графики работы лба сваи в виде прямой f-8, ствола - в виде ломаной o'-e-c, общей работы сваи - в виде ломаной o'-e-d. Эти работы могут быть выражены в прямоугольной системе координат векторами соответственно V_n , V_o , V_{Σ} . На уровне предельных нагрузок проверка выражается формулами (см. рис.1-вверху):

для суммы прямых нагрузок
$$N_{\pi}+N_{\delta}=N_{\Sigma}$$
; $155+282=437_{\tau c}$(1) для суммы векторных сил $\sqrt{(V\pi)^2+(V6)^2}=V_{\Sigma}$;(2)

Обращаем внимание, что сумма нагрузок берется от начала координат, а векторная сумма - от доопытной нагрузки; во избежание путаницы системы единиц сохраняются по первоисточникам. Способ "угловой аппроксимации" проверен по данным испытаний столбчатых фундамен-тов на обычном и предварительно уплотненном основании, штампов - на талых и оттаивающих песчано-глинистых слоях, для свай в различных (в том числе, просадочных) грунтах. Способ также позволяет оценить структурную прочность грунта при полевых испытаниях штампами.

Рассмотрим нагрузочный график S=f(N) стандартного испытания увлажненного мелкопесчаного грунта в шурфе на глубине 1,45м круглым штампом площадью F_{u} =600см² (рис. 2). График имеет вид ломаной линии, так как нагрузку повышают отдельными ступенями; при методически правильном испытании ломаная линия хорошо огибается плавной кривой. На оси абсцисс откладываются ступени удельной нагрузки p [12], на оси ординат вверху (рис.2-б) – углы ϕ в град. между горизонталью и секущей, проведенной через начало и конец соответствующей ступени графика S=f(p) (рис.1-а). Через полученные точки можно провести в большинстве случаев две прямые $\varphi = ap + b$ (в нашем случае o - c и d - b), каждая из которых соответствует определенной фазе сопротивления основания. Такой подход основан на постулате, [13], что фаза сопротивления характеризуется не столько абсолютной величиной осадки или степенью линейности (нелинейности) зависимости осадки от давления, сколько постоянством аналитической формы зависимости в пределах данной фазы. В качестве параметров формы принимаются угол ϕ наклона секущей каждой ступени и величина соответствующей ступени нагрузки р. Возможны случаи получения одной прямой – при однофазной работе основания (например, забивной сваи в озерно-болотных мелах), трех прямых-при испытании штампа на

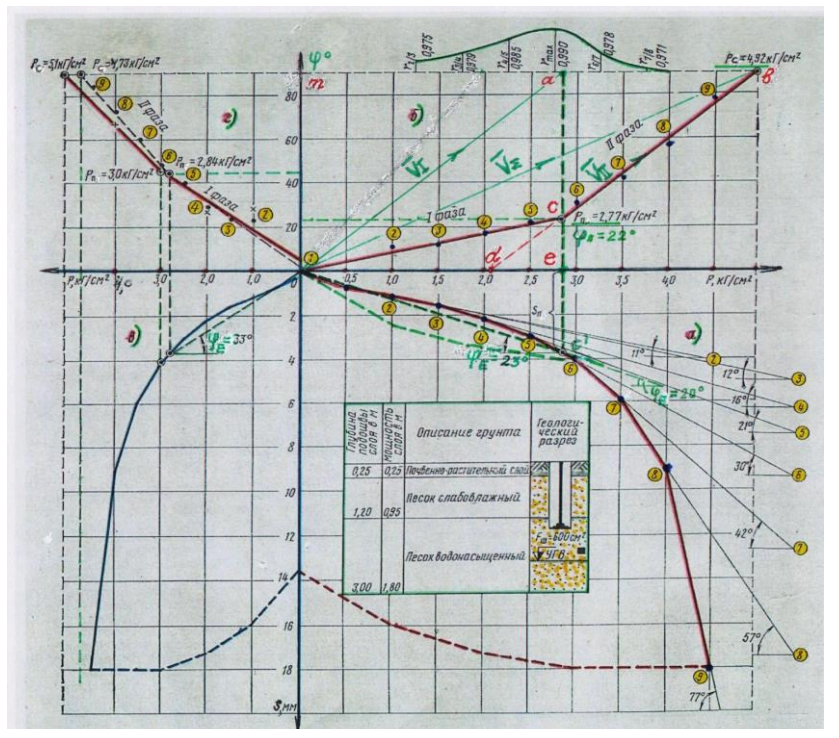
разнозернистом песке и даже четырех прямых, когда основание фундамента сложено рыхлыми грунтами и т.д. Количество участков (фаз) выбирается предварительно по характеру кривой S=f(p); более точно границы участков усматриваются из графического построения в координатах $p-\phi$.

В случае затруднений границы можно уточнить аналитически методом попыток, исходя из требования получения наибольшего средневзвешенного коэффициента корреляции по всем участкам [14]. Для инженерной практики на базе 2-х фазной модели грунтов границу между фазами — предел пропорциональности p_n можно определить по наибольшему средневзвешен-ному коэффициенту корреляции:

$$r = \frac{r_1 \cdot n_1 + r_2 \cdot n_2}{n_1 + n_2}, \tag{3}$$

где: r_1 , r_2 – коэффициенты линейной корреляции прямых, n_1 и n_2 – число угловых отсчетов соответственно в первой и второй фазах линеаризованного графика.

Следует отметить, что в «чистом» виде ни одно фаза не существует: в каждый момент нагружения фундамента в основании существуют как упругие, так и пластические зоны. Различия между фазами определяются степенью развития этих зон. Однако некоторая идеализация работы основания приводит к возможности более четкого теоретического решения без ущерба для действительной работы



Для этого начало и конец каждой ступени стандартного вида графика S = f(p) соединяют хордами (рис.2), графически замеряют на чертеже угол ϕ наклона каждой хорды к горизонтали и откладывают полученные углы в координатах «нагрузкаугол» $p - \phi$ выше нагрузочной оси графика (рис.1-б). Полученные точки в зависимости от расчетной схемы разделяют на группы (фазы), число которых диктуется близостью точек в группе к прямой линии (линеаризуемостью группы). Ступени нагрузки р и углы наклона хорд к горизонтали Ф пронумерованы по ступеням № 1÷9.

Нанесенные вверху в координатах

Рис.2. Аппроксимация и векторное представление штампового испытания песчаного грунта

p - ϕ точки дали при линеаризации наибольший приведенный коэффициент корреляции между точками 5÷6 (r=0,99). Полученный таким геометрическим путем линеаризованный график представлен ломаной линией O-c-b с пределом пропорциональности p_n =2,77 κ г/c M^2 , углом на пределе пропорциональности ϕ =22 o ; и пределом несущей способности p_c =2,77 κ г/c M^2 с углом ϕ =90 o , который теоретически соответствует полному выпору грунта изпод штампа.

Важно отметить, что значение p_n совпадает с точкой c^1 пересечения нагрузочного графика S=f(p) копией кривой разгрузки, проведенной из начала координат. Это подтверждает физическую основу предела пропорциональности — возможность расчетов грунтов основания в первой фазе по упругим законам. Еще одним доводом физической значимости p_n как границы І-ой фазы (уплотнения) является пересечение npnmou линией, проведенной из начала координат к исходному криволинейному графику S=f(p) под углом к горизонтали $\varphi_E \sim \varphi_n$ и пересекающей его при той же нагрузке p_n . Указанные признаки помогают с помощью штампа более однозначно определить природный модуль деформации грунта без ориентации на размер и число ступеней стандарта [9].

Продлив линию II-фазы линеаризованного графика до оси нагрузок, мы получим в точке d начало развития II-фазы. Если по техническим или технологическим причинам предел несущей способности штампа не был достигнут, но известны хотя бы $2\div 3$ ступени нагрузки после предела пропорциональности p_n , можно прогнозно завершить работу штампа продлением графика II-фазы до горизонтали с ординатой $\phi=90^\circ$. Начало построения линеаризованного графика I-фазы должно предусматривать отложение на оси нагрузок структурной прочности p_{cmp} (если она имеется), собственного веса p_o испытуемой конструкции — штампа (сваи) с надстройками или прилежащего им трансформированного грунтового массива. Природный модуль деформации грунта под штампом вычисляется по формуле

$$E = \omega d (1 - v^2) p/s = 0.79 27.6 \cdot (1 - 0.25^2) 1.5/0.2 = 154 \kappa \epsilon/c M^2$$
 (4)

где: ω - корректирующий коэффициент для круглого жесткого штампа, равный 0,79; d - диаметр штампа площадью 600см², равный 27,6см; ν -коэффициент бокового расширения грунта (Пуассона), равный для водонасыщенных разнозернистых песков 0,25; p, s - ступень нагрузки $\leq p_n$ и соответствующая ступени осадка на проведенной под углом φ_E к горизонтали прямой линии к графику S=f(p).

Выводы анализа и процедур подтверждаются векторной проверкой:

$$\sqrt{(V_I)^2 + (V_{II})^2} = V_{\Sigma} \qquad (5)$$

Малое влияние масштаба на итоги анализа видно из рис. 1-b и 1-г, где изображен тот же график и его "угловая аппроксимация" при вдвое меньшем масштабе по оси нагрузок и линеаризации фазовых прямых ступенями по 0.5 (пунктир) и по 1.0 (сплошная линия) кг/см 2 .

Уточненные расчеты большеплощадных плит и крупногабаритных свай предполагают учет структурной прочности грунта, приведенного модуля деформации, доопытной нагрузки химически и механически преобразованного массива.

Обычно в песчаных и крупнообломочных грунтах структурные связи отсутствуют или малы, а в пылевато-глинистых грунтах должны учитываться []. Физически они выражаются через структурную прочность p_{cmp} , качественно подразделяются на водно-коллоидные (вязко-пластические) и кристаллизационные (жестко-хрупкие, водостойкие и неводостойкие). Последние после нарушения не восстанавливаются. Связи могут быть раздельными и суммарными, придавая грунтам структурную прочность. Считается, что уплотнение грунта (остаточные осадки) развиваются только при превышении структурной прочности $p > p_{cmp}$.

Принято определять p_{cmp} лабораторными опытами на компрессию, изображая графиками (рис.3-в, г) в простой или полулогарифмической системах координат. Однако искажение структуры грунта при отборе монолитов и зарядке прибора искажают качество образца; более точные результаты дают штамповые опыты.

Рассмотрим для получения p_{cmp} классическую схему испытания грунта штампом (рис.3-Б) []. Структурная прочность p_{cmp} ожидаема и проявляется в начале опыта, хотя значение ее неизвестно. На рис.3-А показана угловая аппроксимация стандартного графика S=f(p), включающего две фазы работы основания. І-я фаза выражена параллельной оси нагрузок горизонтальной прямой с ординатой $\phi=17^\circ$; ІІ-я фаза выражена наклонной прямой d-b. Пересечение прямых между собой в точке c фиксирует предел пропорциональности p_n ; пересечение наклонной прямой оси нагрузок в точке d фиксирует начало ІІ-ой фазы, а пересечение ею горизонтали с ординатой $\phi=90^\circ$ фиксирует в точке d окончание ІІ-ой фазы -

предел несущей способности p_c .

нахождения преобразуем аппроксимированный график к каноническому виду. Из начала координат 0 проведем через середину **g** горизонтали І-ой фазы прямую до пересечения с наклонной прямой II-ой фазы в точке e. Вертикаль через точку **е** «перемещает» сюда предел пропорциональности ввиду наличия p_{cmp} . Теперь путем векторного представления находим значение p_{cmp} . На рис.3-А показаны фазовые векторы – V_I и V_{II} . Их результирующий вектор сложения V_{Σ} по ф-ле (5) как радиус с центром в точке p_c «засекает» на оси нагрузок в начале координат значение p_{cmp} . Как видно, оно сходится с указанным значением на исходном штамповом опыте.

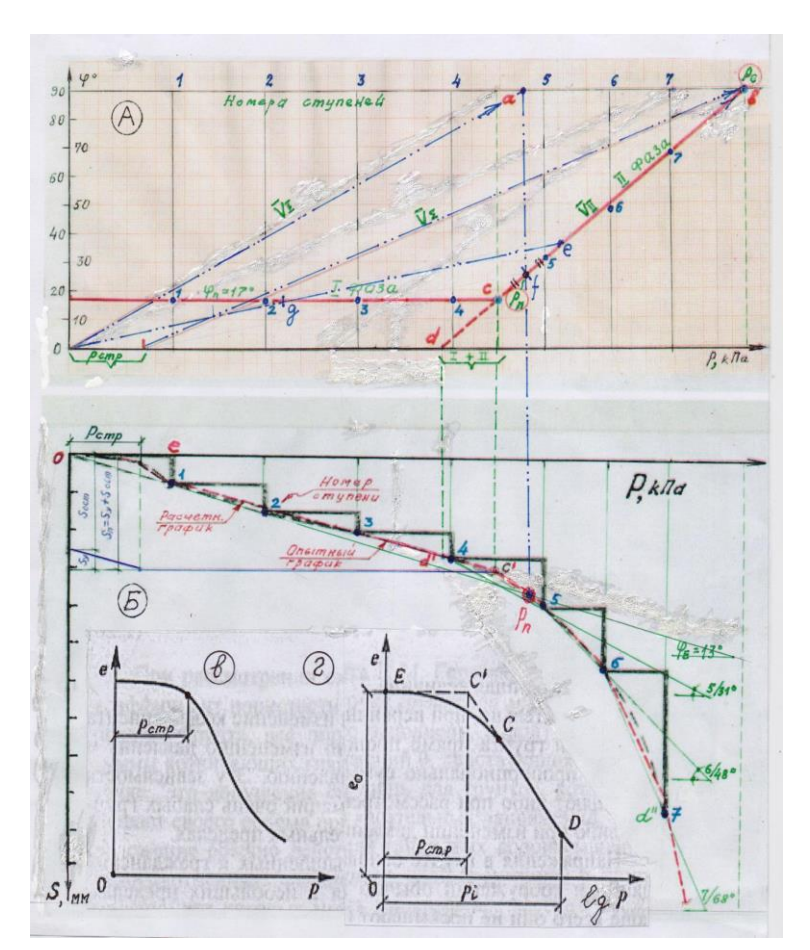


Рис.3. Структурая прочность по штампу и в лаборатории: а, б) угловая аппроксимация, векторное представление; в, г) компрессионные опыты

Возросшее использование свай разных технологий изготовления и конструкций расширило возможности строительства по грунтам и нагрузкам. Несмотря на наличие удобных и надежных методов проектирования и расчетных ПК-программ, остается по-прежнему базовым принцип проектирования работы сваи в грунте как суммы работ ее острия и боковой поверхности. Параметры этих расчетов уточняются аналитическими исследованиями, нормы постоянно актуализируются [], а окончательные итоги обязательно подтверждаются опытно – производственными работами на моделях, сваях-штампах, аналогах, используя тензометрию и особые методики. Угловая

аппроксимация и **векторное представление** графиков испытаний при камеральной обработке могут облегчить установление долей работ острия и боковой поверхности стандартно испытанных натурных свай или их моделей.

Покажем обработку данных испытания тензометрической модели сваи на опытной площадке [14], представленной по глубине слабыми водонасыщеннымиценим мягкопластичными (с поверхности на глубину погружения моделей - тугопластичными) суглинками с физико-механическими свойствами по лабораторным данным (Табл.1)

١.	_		1
a	n	П	
а	v	JI	

	1 a0.11.1		
1. Объемная масса грунта ρ = 1,98 т/м ³	7 .Коэффициент водонас. S_r =0,94		
2.Пористость n=41%	8.Коэффициент консистенции B=0,67		
3.Коэффициент пористости e ₀ =0,69	9.Угол внутреннего трения ϕ =28 0		
4. Показатель/число пластичнще. I_p =0,12	$10.$ Удельное сцепление c_n = $0,01$ МПа		
5.Показатель текучести I_L =0,28	11.Компресс. модуль деформации E_{κ} =5 МПа		
6.Влажность W=24%	12.Коэф. Пуассона <i>µ</i> = 0,35		

Модель сваи включала ствол из трубы металлической диаметром d=0,05м, плоский оголовок сверху и 60^{0} конический заостренный под наконечник (конус) внизу ствола с основанием того же диаметра d; внутри ствола располагался подвижный стержень для продольного выдвижения конуса. Ствол, конус и оголовок модели сваи были снабжены тензодатчиками, обеспечивавшими при нагружении раздельный замер сопротивлений грунта по стволу, под конусом и модели целиком (разработчик МИСИ-Москва: авторы Дорошкевич H.M. Сальников Б.А.).

После предварительной раздельной тарировки всех частей собранная модель сваи задавливалась с поверхности в грунт на глубину L=1,0 м гидродомкратом и далее с его же помощью испытывалась по стандартной методике ступенчатого нагружения до стабилизации осадок [7]. На рис. 1-внизу представлены усредненные по 3-м повторным испытаниям модели опытные графики "осадка-нагрузка" S=f(N) раздельно вдоль ствола, под конусом и модели целиком.

Схема суммарного сложения долевых графиков базируется на методике [13] и понятна из геометрического построения на рис.1. Она начинается чисто геометрическим замером в градусах углов наклона к горизонтали участков стандартного вида графика по ступеням нагрузок (рис. 1-внизу), отложением этих углов по ординатной оси над осью нагрузок в координатах "угол наклона – ступень нагрузки" (рис.1-вверху) и завершается проведением через полученные точки двух прямых методом линейной корреляции. Пересечение прямых между собой однозначно фиксирует предел пропорциональности N_n =4,3кН общего графика испытания сваи, пересечение прямой второго участка горизонтали с ординатой $\phi = 90^{\circ}$ фиксирует предел пропорциональности $N_n = 4.3 \,\mathrm{kH}$ общего графика испытания сваи, пересечение прямой второго участка горизонтали с ординатой $\varphi=90^{\circ}$ фиксирует предел несущей способности (срыв) сваи N_c =5,9кH. Наконец, пересечение продолжения второго участка с осью абсцисс $\phi = 0^0$ фиксирует предельную нагрузку грунта по боковой поверхности сваи. Полученные по указанной методике графики "осадка-нагрузка" модели сваи в целом и отдельно ее острия и ствола свидетельствуют о хорошем качестве конструкции моделей, обеспечившей при стандартной технологии испытаний условнооднозначную фиксацию характеристических фазовых нагрузок – суммарной и раздельных под острием и по боковой поверхности . Характер линеаризованных долевых графиков

показывает, что работа вдавливаемой модели сваи в грунте проходит вдоль ствола по двум фазам, а под конусом - однофазная. На основе линеаризованных графиков ϕ =f(N) каждую фазу модели (сваи) можно представить формулами, позволяющими аналитически вычислить осадки S_i по ступеням во всем диапазоне нагружения сваи.

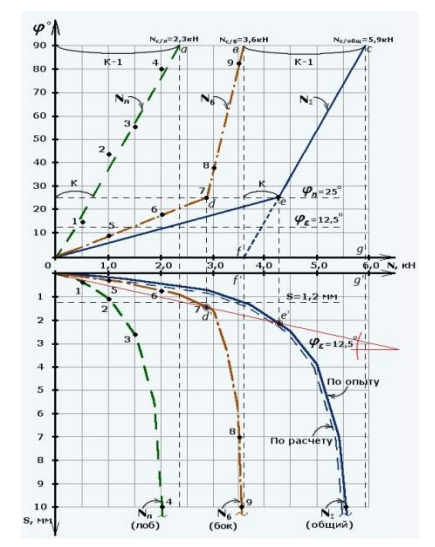


Рис.4.Линейно-угловая аппроксимация графиков испытаний грунта молелью сваи-штампа

Уравнение графика однофазной работы грунта под конусом модели в координатах « ϕ -N» аналитически выражается прямой, проходящей через две заданные точки« ϕ_1 - N_1 » и « ϕ_2 - N_2 »:

$$\frac{N-N_1}{N_2-N_1} = \frac{\varphi-\varphi_1}{\varphi_2-\varphi_1} \dots (1)$$

Используя, например, в качестве точек на графике « ϕ -N» пределы пропорциональности N_n (N_1 =4,29кH; ϕ_1 =25°) и несущей способности N_c (N_2 =5,9кH; ϕ_2 =90°) (Рис.4-вверху), получим по ϕ -ле (1)

$$\frac{N-4,29}{5,9-4,29} = \frac{\varphi-25}{90-25} \text{, или } \left\{ \frac{\varphi=40,3N-148}{N=0,0248\varphi+3,67} \dots (2) \right.$$

где уравнение фазовой прямой общего вида:

$$\varphi = aN + b,....(3)$$

лействительно на всей оси абсписс N.

Применительно к прогнозу осадок грунта под конусом модели угол наклона касательной к графику испытания грунта конусом S = f(N) составит

$$\varphi = arctg \frac{dS}{dN}$$
, или $tg \varphi = \frac{dS}{dN}$ (4)

Тогда осадка конуса по ступеням нагружения выразится формулой

$$S = \int tg \varphi \cdot dN = \frac{1}{\alpha} \int \frac{\sin(\alpha N + b)}{\cos(\alpha N + b)} d(\alpha N + b) \dots (5)$$

Вводим замену переменных $\alpha N + b = t$:

$$S = \frac{1}{\alpha} \int \frac{\sin t}{\cos t} dt = -\frac{1}{\alpha} \int \frac{d(\cos t)}{\cos t} \dots (6)$$

Вводим вторично замену переменных $\cos t = x$:

$$S = -\frac{1}{\alpha} \int \frac{dx}{x} = -\frac{1}{\alpha} (\ln |x| + c) = -\frac{1}{\alpha} \{ \ln |\cos(\alpha N + b)| + C \}....(7)$$

Для граничных значений $N_{S=0}\,\,u\,S{=}0\,$ имеем

$$\mathbf{0} = -\frac{1}{\alpha} \left\{ \ln \left| \cos(\alpha N_{s=0} + b) \right| + C \right\}, \text{ откуда: } \mathbf{C} = -\ln \left| \cos(\alpha N_{s=0} + b) \right| \dots (8)$$

Подставляем значение C в формулу (7): $S = -\frac{1}{\alpha} \left\{ \ln \left| \cos(\alpha N + b) - \ln \left| \cos(\alpha N_{s=0} + b) \right| \right\},$

$$S = \frac{1}{\alpha} ln \left| \frac{cos(\alpha N_{s=\theta} + b)}{cos(\alpha N + b)} \right| = \frac{2,3}{\alpha} lg \left| \frac{cos(\alpha N_{s=\theta} + b)}{cos(\alpha N + b)} \right| \dots (9)$$

При N=S=0 получаем уравнение прямой, проходящей через начало координат:

$$S_{(N=s=0)} = \frac{1}{\alpha} \ln \left| \frac{\cos b}{\cos(\alpha N + b)} \right| = \frac{2,3}{\alpha} \lg \left| \frac{\cos b}{\cos(\alpha N + b)} \right|, \dots (10)$$

где a и b - параметры уравнения отдельной фазы стандартного графика S=f(N), линеаризованного в координатах ${}''\phi$ -N''.

Из рис.4-вверху видно, что конус при нагружении модели вступает в работу не сразу, а после достижения предельной нагрузки N_6 =3,6кH по боковой поверхности ствола при малой осадке S=1,2мм, составляющей 0,024d сваи. На коротком участке N=3,6...4,3кH наблюдается наложение фаз, трактуемое в механике грунтов как проявление упруго-сдвиговых процессов. Общая несущая способность модели сваи N_c достигается при осадке $S \approx 19$ мм (или 0,38d сваи), что для производственных забивных свай обычно составляет до (0,1...0,8)d.

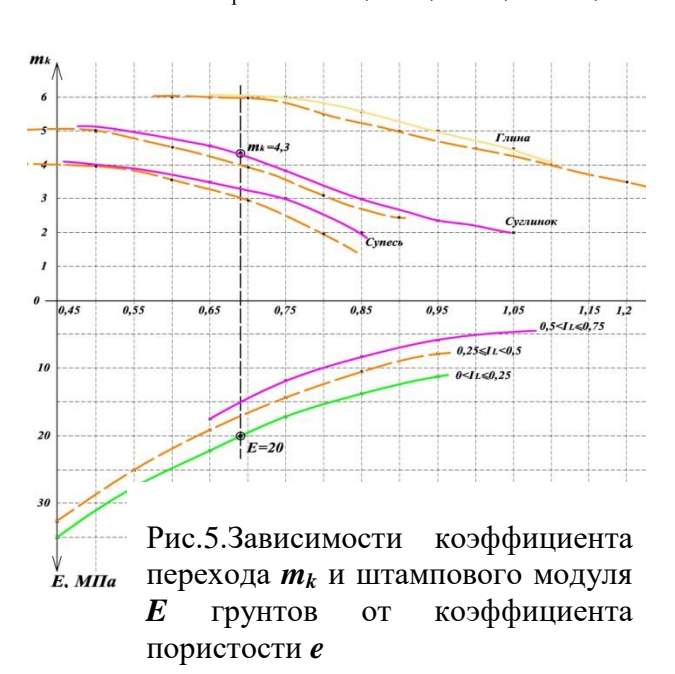
Факт линейной зависимости осадки грунта от нагрузки под острием забивных (задавливаемых) свай неоднократно отмечался исследователями ранее [20]. Вступление в работу острия модели сваи после достижения предельной несущей способности стволом (точка f) ставит под сомнение допустимость привычного способа построения единого графика работы сваи по долевым графикам острия и боковой поверхности - путем сложения нагрузок, соответствующих одинаковым осадкам долевых графиков. Такой подход допустим только при одновременном начале работы острия и ствола сваи .

Оценим сжимаемость грунто-свайного основания из уплотненного моделью сваи грунта через «приведенный» модуль деформации E_{np} [13] по формуле (11), используя осредняющую прямую 0-е' (рис. 1-внизу), проходящую под углом ϕ_E =12,5 0 к горизонтали из начала координат через точку предела пропорциональности е' на стандартном графике S=f(N)

$$E_{np} = \frac{(1 - \mu^2)N}{0.53d(L - \Delta)S} = \frac{(1 - 0.35^2) - 4.3}{0.53 \cdot 0.05 \cdot (1.0 - 0.2) \cdot 0.0021} = 85000 \,\kappa\Pi a = 85.0M\Pi a, \dots (11)$$

где: μ – коэффициент Пуассона грунта основания; d, L, Δ – соответственно диаметр ствола, глубина погружения модели ниже уровня планировки и критическая глубина (3...5)d воронки поверхностного выпора, м; N, S – нагрузка не более предела пропорциональности (кН) и соответствующая нагрузке осадка (м) сваи в границах осредняющей прямой (точка е'). Переход к штамповому E (и далее - компрессионному E_{κ}) модулям исходного (природного) грунта выполним последовательным расчетом по ф-лам (12)

$$E = E_{\pi p} / m_{\mu \nu} = 85,0 / 4,0 = 21,3 M\Pi a; E_{\kappa} = E / m_{\kappa} = 21,3 / 4,3 = 4,95 M\Pi a,...$$
 (12)



где: $m_{\text{III}} = 4.0$ и $m_{\kappa} = 4.3$ - коэффициенты перехода соответственно от "приведенного" модуля к штамповому [8, 15] и далее - от штампового модуля к компрессионному (Рис.5-вверху). Близость рассчитанного таким способом компрессионного модуля к его опытному лабораторному значению E_{κ} (Табл.1, п.11), а рассчитанного штампового – к его табличному значению Е по СП (Рис.5внизу) подтверждают возможность стандартных характеристик вычисления сжимаемости грунта на основе типового графика S = f(P) статического испытания грунта вдавливаемой моделью сваи.

Используя аналогичный подход, проанализируем типового вида график S=f(N) стандартного полевого испытания забивной натурной сваи (рис.6). Ступени нагрузки N и

углы наклона хорд к горизонтали $\boldsymbol{\varphi}$, соответствующих этим ступеням, пронумерованы (№ 2 ÷ 10). Нанесенные вверху в координатах N- $\boldsymbol{\varphi}$ точки дали при линеаризации наибольший приведенный коэффициент корреляции над точкой 6 (\boldsymbol{r} =0,992). Полученный таким геометрическим путем линеаризованный график представлен ломаной линией «О-6-b» с пределом пропорциональности N_n ==308kH, углом на пределе пропорциональности $\boldsymbol{\varphi}$ =32 o ; и пределом несущей способности N_c =551kH с углом $\boldsymbol{\varphi}$ =90 o , который теоретически соответ-

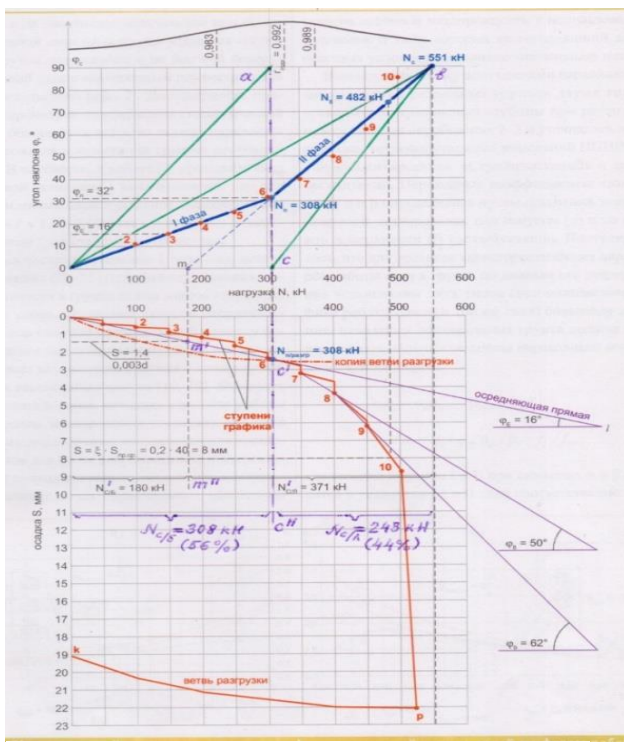


Рис. 6. Угловая аппроксимация - и векторное представление кривой «осадка-нагрузка» испытания грунта забивной сваей

фазы (уплотнения) является про-

ствует полному срыву сваи в грунте. Важно отметить, что значение N_n совпадает с точкой $\boldsymbol{c^{I}}$ пересечения первичного типового графика копией кривой разгрузки, проведенной из начала координат. Это подтверждает физическую предела основу пропорциональности – возможность расчетов грунтов основания в первой фазе по упругим законам. Заслуживает внимания и факт срыва грунта по боковой поверхности сваи при достижении этой же нагрузки N_n =308kH, которой соответствует (как будет показано далее) предельная сдвиговая осадка $Sc \theta =$ 1,4мм (0,003d сваи). Еще одним доводом физической значимости N_n как границы І-ой хождение прямой линии, проведенной под усредненным углом к горизонтали $\phi_E = 0.5$ $(\phi_0 + \phi_n) = 16^o$ из начала координат к исходному криволинейному графику S=f(N) и пересекающей его при той же нагрузке N_n .

Выводы.

- 1. Анализ работы сваи в грунте требует аппроксимации опытного графика "осадканагрузка" по единой методике, например, используемой в данной статье, — для снижения случайных погрешностей опыта на ступенях нагружения.
- 2. Аппроксимированный график делится на участки по фазам работы системы "свая-грунт" для определения характеристических показателей опытного графика таких, как предел пропорциональности, предел несущей способности (срыв) и "приведенный" модуль деформации.
- 3. Вид аппроксимированного графика из 2-х прямых линий, концы каждой из которых определяют искомые пределы нагрузок, отражает двухфазную модель работы сваи в грунте, принятую в инженерной практике проектирования.

- 4. Пересечения концов каждой из 2-х прямых линий: начала первой с осью абсцисс (нагрузок), а конца второй с осью, ордината которой γ =90⁰, позволяют определить: соответственно погрешность испытания сваи в начале нагружения (провисание прогибомерной нити, перегруз упорной системы) и предельную по несущей способности нагрузку сваи (если испытание было прервано возможностями оборудования, выходом анкерной сваи, течью домкрата, ошибкой отсчета по прогибомеру).
- 5. Экстраполяция начала второй прямой до пересечения с осью нагрузок фиксирует начало работы острия и переход к срыву нагрузки по боковой поверхности сваи, а значит, начало совместной работы острия и боковой поверхности сваи.
- 6. Полностью оправдался стандартный принцип отечественных норм переход от параметров зондирования к нагрузке сваи через сумму сопротивлений грунта под конусом и по боковой поверхности зонда на базе соответствующих коэффициентов α и β, зависящих от удельной прочности грунта.
- 7. Новизна предлагаемой методики оценки работы сваи по зондированию предусматривает прогноз осадок во всем диапазоне нагружения путем введения в формулу перехода от зонда к свае разных коэффициентов $\alpha_{\rm H}$ и $\beta_{\rm H}$, зависящих от вида фазовой нагрузки.
- 8. Рассчитываемый по зондированию "приведенный" модуль деформации основания сваи учитывает совместную работу сваи с уплотненным ею окружающим грунтом и определяется в границах І-го линейного участка графика испытания сваи по эмпирической формуле через удельное сопротивление грунта под конусом зонда.
- 9. Близость опытных и расчетных данных по предлагаемой методике превышает сравнительные данные общероссийских и зарубежных стандартов, что позволяет уменьшить число или вообще отказаться от полевых испытаний забивных свай, заменив их зондированием.
- 10. Разрабатываемые на базе приведенной методики приемы позволят статистически оценить возможный разброс опытных данных для назначения степени безопасности, выбрать нагрузку на одиночную сваю с учетом допустимой осадки сооружения, использовать методику для других видов и технологий устройства свай, а также зондирования иными конструкциями установок.

Литература.

- 1. СП 24.13330.2011 "СНиП 2.02.03-85 "Свайные фундаменты"//-М. -Федеральное агентство по техрегулированию и метрологии. -2015 г.
- 2. Мангушев Р.А., Карлов В.Д., Сахаров И.И., Осокин А.И. Основания и фундаменты. М.: //Издат. ACB.-C.20,21,52,53.-2011.
- 3. ГОСТ 12248-2010. Грунты. Методы лабораторного определения характеристик прочности и деформируемости.

- 4. ГОСТ 20276-2012. "Грунты. Методы полевого определения характеристик прочности и деформируемости. М.: Стандартинформ, 2013.
- 5. ГОСТ 19912-2012. "Грунты. Методы полевых испытаний статическим и динамическим зондированием".
- 6. ГОСТ 5686-2012. "Грунты. Методы полевых испытаний сваями".
- 7. Мангушев Р.А., Карлов В.Д., Сахаров И.И. Механика грунтов. -М. // -Изд. ACB, -C. 20, 21, 52, 53.-2011.
- 8. Ильичев В.А., Петрухин В.П., Трофименков Ю.Г. Некоторые итоги X1 Международного конгресса по механике грунтов и фундаментостроению. -М.//ОФМГ.-1986.-№2.- с.29-30
- 9. Несмит У.М., Фокс Д. Практические вопросы проектирования и устройства буронабивных свай без выемки грунта. М.: // ООО "Геомаркетинг", Международный журнал "Геотехника", 2010. -№1.- с. 25-31.
- 10. Добровольский К.И. Испытание свай и грунтов пробной нагрузкой в связи с расчетом низких свайных ростверков. Тифлис: Закавказский ин-т инженеров путей сообщения, 1935.
- 11. Попов Б.П. Применение анализа размерностей к опытам с пробными нагрузками. Сб. «Инженерно-геологические исследования для гидроэнергетического строительства», т. II. -М.-Госэнергоиздат, 1950.
- 12. Гольдфельд И.З. Интерпретация графика осадка-нагрузка по фазам сопротивления грунта основания // ж. Транспортное строительство. 1973. №7.
- 13. Гольдфельд И.З., Пырченко В.А., Панюкова И.М. Программа "Прогноз несущей способности свай по данным зондирования" (SVAN) // ВНТИЦентр, П004968, МОФАП ЦНИИПроект, 1-H-196.
- 14. Гольдфельд И.З, Смирнова Е.А. Графоаналитическая обработка результатов статических испытаний грунтов забивными сваями и зондированием.-М. // ж. ОФМГ, изд. дом. "Экономика, Строительство, Транспорт".- №5. -2011г. с.35-40.